



Incrocio Dalmasso VI/6

Carlomagno A., Ferrandino A., Kedrina O., Ruffa P., Raimondi S., Novello V. (2014) - Incrocio Dalmasso VI/6. In: Italian Vitis Database, www.vitisdb.it, ISSN 2282-006X

release 13/07/2015, ultimo aggiorn. 13/07/2015 url <http://vitisdb.it/accessions/show/15947>

Informazioni gestite da

Dipartimento di Scienze Agrarie, Forestali e Alimentari - Università degli Studi di Torino

Ringraziamenti

Ager IVD; Istituto di Istruzione Superiore di Stato 'Umberto I' - Alba (CN); Azienda Didattico - Sperimentale 'Tetti Grondana', Chieri (TO)

Informazioni generali

nome Incrocio Dalmasso VI/6 **codice** ITA424-026
nazione di selezione Italia **regione di selezione** Piemonte
provincia di selezione non disponibile **località di selezione** non disponibile
istituzione custode Dipartimento di Scienze Agrarie, Forestali e Alimentari - Università degli Studi di Torino
collezione Azienda Agraria Didattico Sperimentale 'Tetti Grondana' - Chieri (TO)

Varietà & clone

tipo di origine incrocio intraspecifico **genere** Vitis
specie Vitis vinifera **sub specie** sativa
varietà Incrocio Dalmasso VI/6 **codice della varietà** IVD-var_287
clone non disponibile
trueness to type accertato con rilievi morfologici e microsatelliti

Trueness to type

True-name

confermato **si**

Trueness to type accertato con rilievi morfologici (ampelografici)

accertamento con rilievi morfologici (ampelografici) **accertato**

Trueness to type accertato con microsatelliti

accertamento con microsatelliti **accertato**

loci confrontati n.d.

loci identici n.d.

discrepanze n.d.

Profilo microsatellite standardizzato

| loci: | loci predefiniti (9) | | | | | | | | | | | | | | | | | |
|-------------|------------------------|-----|-------|-----|-------|-----|--------|-----|---------|-----|---------|-----|--------|-----|--------|-----|--------|-----|
| locus SSR: | VVS2 | | VVMD5 | | VVMD7 | | VVMD27 | | VrZAG62 | | VrZAG79 | | VVMD25 | | VVMD28 | | VVMD32 | |
| allele: | A1 | A2 | A1 | A2 | A1 | A2 | A1 | A2 | A1 | A2 | A1 | A2 | A1 | A2 | A1 | A2 | A1 | A2 |
| dimensione: | 133 | 133 | 225 | 237 | 243 | 249 | 185 | 195 | 186 | 188 | 243 | 257 | 240 | 250 | 237 | 261 | 253 | 259 |

Immagini



germoglio



foglia



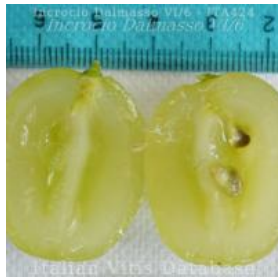
foggia pagina superiore



foggia pagina inferiore







grappolo



acino

Ampelografia

| OIV | descrizione | valore | | immagini |
|-------|--|--------|---|---|
| 004 | Giovane germoglio: densità dei peli striscianti dell'apice | 1 | nulla o molto bassa |  |
| 007 | Germoglio: colore del lato dorsale degli internodi | 2 | verde e rosso | |
| 008 | Germoglio: colore del lato ventrale degli internodi | 1 | verde | |
| 016 | Germoglio: numero di viticci consecutivi | 1 | 2 o meno | |
| 051 | Foglia giovane: colore della pagina superiore del lembo (4 a foglia) | 1 | verde |  |
| 053 | Foglia giovane: densità peli striscianti tra le nervature principali della pagina inferiore (4a foglia) | 1 / 3 | nulla o molto bassa / bassa | |
| 067 | Foglia adulta: forma del lembo | 4 / 3 | orbicolare / pentagonale | |
| 068 | Foglia adulta: numero dei lobi | 3 | cinque | |
| 070 | Foglia adulta: distribuzione pigmentazione antocianica nervature principali pagina superiore | 1 | assente | |
| 075 | Foglia adulta: bollosità della pagina superiore del lembo | 1 | nulla o molto bassa | |
| 076 | Foglia adulta: forma dei denti | 3 | entrambi i lati convessi | |
| 079 | Foglia adulta: grado di apertura / sovrapposizione dei bordi del seno peziolare | 3 | aperto | |
| 080 | Foglia adulta: forma della base del seno peziolare | 1 | a U | |
| 081-1 | Foglia adulta: denti del seno peziolare | 1 | assenti | |
| 081-2 | Foglia adulta: base del seno peziolare delimitata dalla nervatura | 1 | non delimitata | |
| 083-2 | Foglia adulta: denti nei seni laterali superiori | 1 | assenti | |
| 084 | Foglia adulta: densità dei peli striscianti tra le nervature principali sulla pagina inferiore del lembo | 1 | nulla o molto bassa | |
| 087 | Foglia adulta: densità dei peli eretti sulle nervature principali della pagina inferiore del lembo | 3 | bassa | |
| 151 | Fiore: organi sessuali | 3 | stami completamente sviluppati e gineceo completamente sviluppato | |
| 155 | Tralcio: fertilità delle gemme basali (gemme 1-3) | 1 / 5 | molto bassa (<0,5) / media (1,1-1,3) | |
| 202 | Grappolo: lunghezza (escluso il peduncolo) | 7 / 9 | lungo / molto lungo |  |
| 204 | Grappolo: compattezza | 3 / 5 | spargolo / medio | |
| 208 | Grappolo: forma | 2 / 3 | conico / a imbuto | |
| 220 | Acino: lunghezza | 7 / 9 | lungo / molto lungo |  |
| 221 | Acino: larghezza | 7 | largo | |
| 223 | Acino: forma | 6 / 4 | troncovooidale / ellissoidale stretto | |
| 225 | Acino: colore della buccia | 1 | verde giallo | |
| 236 | Acino: particolarità dell'aroma | 1 | nessuna | |
| 241 | Acino: sviluppo dei vinaccioli | 3 | completo | |

Note ampelografiche

Il profilo del lembo appare piano con margini contorti. La bacca, con polpa soda o molto soda, contiene mediamente 1 o 2 vinaccioli.

Ampelometria

OIV

nessun descrittore presente per Incrocio Dalmasso VI/6

Superampelo

| distanze | | |
|---|---------|---------------------|
| descrittore | valore | deviazione standard |
| Lunghezza della nervatura N2 | 53.764 | 7.617 |
| Larghezza del seno peziolare / Distanza tra i punti SP e SP' | -11.018 | 3.744 |
| Lunghezza della nervatura N3 | 38.627 | 6.005 |
| Lunghezza della nervatura N2' | 54.741 | 7.068 |
| Lunghezza della nervatura N3' | 40.282 | 5.802 |
| Distanza tra estremità di N2 e estremità della prima ramificazione laterale di N2 | 24.936 | 6.306 |
| Distanza tra estremità di N2' e estremità della prima ramificazione laterale di N2' | 22.618 | 4.312 |
| Distanza dal seno peziolare al seno inferiore destro | 19.536 | 3.786 |
| Distanza dal seno peziolare al seno inferiore sinistro | 20.591 | 4.155 |
| Distanza dal seno peziolare al seno superiore destro | 21.255 | 4.009 |
| Distanza dal seno peziolare al seno superiore sinistro | 20.518 | 4.352 |
| Nervatura N3, lunghezza dal seno peziolare alla nervatura N4 | 6.400 | 1.470 |
| Nervatura N3', lunghezza dal seno peziolare alla nervatura N4' | 6.500 | 1.327 |
| Lunghezza della nervatura N5 | 11.109 | 2.721 |
| Lunghezza della nervatura N5' | 10.691 | 1.620 |
| Lunghezza della nervatura N4 | 22.636 | 3.464 |
| Lunghezza della nervatura N4' | 22.955 | 2.755 |
| Larghezza della foglia | 78.391 | 10.288 |
| Lunghezza della foglia | 83.291 | 7.884 |
| Lunghezza del picciolo | 61.164 | 10.070 |
| Lunghezza della foglia compreso il picciolo | 122.755 | 15.006 |
| Distanza tra gli estremi delle nervature N2 e N2' | 68.818 | 7.767 |
| Lunghezza della nervatura N1 | 61.600 | 6.314 |
| Distanza tra gli estremi delle nervature N4 e N4' | 35.309 | 10.395 |
| Distanza tra gli estremi delle nervature N3 e N3' | 77.582 | 11.244 |

| angoli | | |
|--|--------|---------------------|
| descrittore | valore | deviazione standard |
| Angolo tra N1 e N2 misurato alla prima biforcazione | 48.827 | 6.410 |
| Angolo tra N2 e N3 misurato alla prima biforcazione | 46.182 | 4.673 |
| Angolo tra N1 e N2' misurato alla prima biforcazione | 47.336 | 4.545 |
| Angolo tra N3 e N4 alla prima biforcazione di N3 | 60.391 | 6.358 |
| Angolo tra N2' e N3' misurato alla prima biforcazione | 45.809 | 4.880 |
| Angolo tra N1 e N2 misurato agli estremi delle nervature | 41.364 | 4.444 |
| Angolo tra N3' e N4' | 59.918 | 4.471 |
| Angolo tra N2 e N3 misurato agli estremi delle nervature | 47.055 | 8.470 |
| Angolo tra N1 e N2' misurato agli estremi delle nervature | 38.245 | 7.331 |
| Angolo tra N3 e N4 misurato agli estremi delle nervature | 50.182 | 5.292 |
| Angolo tra N2' e N3' misurato agli estremi delle nervature | 49.518 | 8.065 |
| Angolo di apertura del seno peziolare misurato a SP e SP' | 61.173 | 15.400 |
| Angolo tra N3' e N4' misurato agli estremi delle nervature | 51.918 | 7.644 |
| Angolo tra S e S' con centro in N1 | 24.682 | 6.815 |
| Angolo tra D e D' con centro in N1 | 96.927 | 12.197 |
| Angolo tra I e I' con centro in N1 | 37.682 | 7.802 |

| rapporti | | |
|--|--------|---------------------|
| descrittore | valore | deviazione standard |
| Rapporto tra Lunghezza e larghezza della foglia | 1.069 | 0.072 |
| Rapporto tra la somma degli angoli a' + b' e la somma della distanza tra il seno peziolare e il seno superiore sinistro OS' e il seno peziolare e il seno inferiore sinistro OI' | 0.041 | 0.008 |
| Rapporto tra la somma degli angoli a + b e la somma della distanza tra il seno peziolare e il seno superiore destro OS e il seno peziolare e il seno inferiore destro OI | 0.042 | 0.008 |
| Rapporto tra l'altezza e la base dei denti del lato sinistro | 0.698 | 0.042 |
| Rapporto tra l'altezza e la base dei denti del lato destro | 0.726 | 0.046 |
| Rapporto tra l'altezza e la base del dente all'estremità della nervatura N2' | 0.864 | 0.180 |
| Rapporto tra l'altezza e la base del dente all'estremità della nervatura N2 | 0.866 | 0.129 |
| Rapporto tra l'altezza e la base del dente all'estremità della nervatura N4 | 0.581 | 0.113 |
| Media della base dei denti del lato sinistro | 4.730 | 0.691 |
| Media della base dei denti del lato destro | 3.756 | 1.153 |
| Media dell'altezza dei denti del lato sinistro | 3.295 | 0.476 |
| Rapporto tra l'altezza e la base del dente all'estremità della nervatura N4' | 0.679 | 0.216 |
| Media dell'altezza dei denti del lato destro | 2.948 | 0.535 |